

二氧化碳/环氧丙烷/ γ -丁内酯的三元共聚合和表征*

卢凌彬 黄可龙**

(中南大学化学化工学院 长沙 410083)

黄路

颜文斌

(湖南化工研究院 长沙 410007) (吉首大学化学化工学院 吉首 416000)

摘要 通过二氧化碳(CO₂)、环氧丙烷(PO)与 γ -丁内酯(GBL)的三元开环共聚合反应,得到一种三元共聚物,脂肪族聚碳酸酯(PPCG)。对PPCG的结构进行了FTIR、¹H-NMR及¹³C-NMR表征,表明GBL被开环嵌入PO-CO₂分子链中,使得共聚物中引入了易水解的羧酸酯单元。对PPCG的热性能、降解性能进行了测试。结果表明,在一定范围内,随着 γ -丁内酯单元的增加,特性粘数降低,PPCG的玻璃化转变温度升高,材料降解性增强;不同的聚合反应时间对PPCG的特性粘数和玻璃化转变温度也有着明显的影响。

关键词 二氧化碳, 环氧丙烷, γ -丁内酯, 脂肪族聚碳酸酯, 三元共聚, 表征

自从首次利用药物控制释放技术至今仅近30年内,药物控释技术得以快速发展^[1,2]。在1997年,美国药物控制释放制剂的销售便高达140亿美元^[3]。但是迄今为止,研究的药物载体材料在载药量、生物相容性、以及可控释性能上都仍存在许多问题,而且公认较好的载体材料价格昂贵,用其制成的药剂产品价格居高不下,这些问题都限制了药物载体的广泛利用^[4]。

在上个世纪70年代以来,中、美、日、波兰等国为CO₂聚合物的聚合反应催化剂和聚合机理进行了许多研究^[5-7],CO₂树脂的工业合成困难也已逐渐被克服^[8-10]。到目前为止,这类树脂已显现出一些应用前景,成为21世纪的一类新型材料。由CO₂和环氧化物合成的脂肪族聚碳酸酯具有良好的生物降解性能。但CO₂与环氧丙烷(PO)的共聚物聚碳酸亚丙酯(PPC)的玻璃化转变温度较低^[11],影响其加工性能,且降解速度较慢。本文通过引入第三单体来改善PPC的降解性并提高其玻璃化转变温度。以聚合物负载双金属配位物PBM为催化剂,进行CO₂、PO与 γ -丁内酯(GBL)的三元共聚合。通过将GBL开环共聚合,引入第三单体GBL,使其玻璃化转变温度和降解性得到提高,获得一种可降解三元共聚物,脂肪族聚碳酸酯PPCG,并对其结构和性质进行了表征。研究表明,它的玻璃化转变温度达到40℃以上,具有较PPC强的降解性。

1 实验部分

1.1 主要试剂与仪器

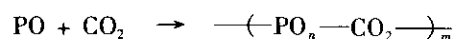
二氧化碳气体,纯度>99.5%;环氧丙烷,分析纯,经0.4 nm分子筛干燥后使用; γ -丁内酯,纯度>99.7%;其它试剂(如苯、乙醇、盐酸等),均为分析纯,直接使用。磁力高压反应釜FYX0.3型,大连通产高压釜容器制造有限公司生产。

1.2 聚合物负载双金属配位催化剂PBM的制备

聚合物负载双金属PBM型催化剂为黄色粉末,可稳定存在于空气中。其制备方法参见参考文献[12]。

1.3 PPC与PPCG的聚合

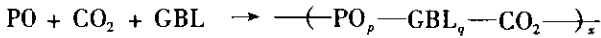
1.3.1 PPC的二元聚合 聚合反应在300 mL磁力高压反应釜内进行。用氮气吹扫高压反应釜5 min后,快速加入PBM 1.00 g, PO 50 mL, 苯 50 mL。充分搅拌均匀后,通入CO₂气体,使反应体系压力达到3.5~4 MPa。加热反应一定时间,停止搅拌加热,冷却至室温,排出剩余气体。出料后用5%盐酸的乙醇溶液洗涤共聚物,再用乙醇溶液洗涤3次后过滤,真空干燥,即可得到PPC。



1.3.2 CO₂/PO/GBL的三元共聚合 CO₂与PO和GBL的三元共聚合反应条件与二元共聚合相似,只是在加入PO的同时需按比例加入一定量的GBL,GBL的使用量根据所需三聚物中单体单元的比例

* 2004-02-24 收稿,2004-06-02 修稿;国家高技术“863”资助项目(项目号 2001AA218011); ** 通讯联系人

而定.反应后得到的三元共聚物 PPCG 产品处理方法与二元聚合物 PPC 相似.



1.4 结构与性能表征

1.4.1 结构分析 在 PE AutoSystem GC-System 2000 FTIR 气-红联用仪上测定聚合物的红外光谱图,采用溶液涂膜法. ^{13}C -NMR 和 ^1H -NMR 在 Varian 300M Inova 核磁共振仪上测定(内标为 TMS),以 CDCl_3 为溶剂.差示扫描量热实验在 Perkin-Elmer DSC-2C 型差示扫描量热仪上进行,用 N_2 保护,升温速度为 10 K/min,测定其玻璃化转变温度.用乌氏粘度计测定聚合物在苯溶液中的粘度,测定温度为 35 $^\circ\text{C}$,通过一点法计算聚合物的特性粘度,并根据公式 $[\eta] = 1.11 \times 10^{-4} M_v^{0.8}$ (dL/g) 换算出上述二元及三元共聚物的粘均分子量 M_v [13].

1.4.2 降解性能表征 取一定量的聚合物压制厚度约为 1 mm,直径约 10 mm 的薄片,真空干燥后称重,将薄片浸泡在盛有 pH 值为 7.4 的 0.1 mol/L 磷酸钠盐缓冲溶液 (PBS) 中,并置于 37 $^\circ\text{C}$ 恒温振荡箱中,每隔一段时间取出薄片,洗净,真空干燥至恒中后称重,以其失重来表征其降解性能.

2 结果与讨论

2.1 PPC 与 PPCG 结构表征

所合成的 PPC 与 PPCG44 聚合物的红外光谱图如图 1 所示.图 1(a) 中含有 PPC 的特征峰,1748 cm^{-1} (s, C=O), 1263 cm^{-1} (s, C—O) 和 789 cm^{-1} , 1074 cm^{-1} (s, C—O—C); 而图 1(b) 中除了含有与 PPC 类似的特征峰,1745 cm^{-1} (s, C=O), 1261 cm^{-1} (s, C—O) 和 789 cm^{-1} 外,在 1575 cm^{-1} 和 1382 cm^{-1} 处亦出现特征峰.根据兰氏化学手册(第 15 版),这两个特征峰分别为羧酸根离子— CO_2^- 的反对称伸缩振动峰和对称伸缩振动峰^[14].红外光谱图中 1800 cm^{-1} 处没有吸收峰,表明产物经处理后不包含环丙烯碳酸酯副产物.

PPC 二元共聚物的 ^1H -NMR 谱图 2(a) 上可以见到 PPC 的特征峰, $\delta = 5.0$ (m, $\text{CH}(\text{CO}_3)$), $\delta = 4.2$ (m, $\text{CH}_2(\text{CO}_3)$), $\delta = 3.5$ ($\text{CH}_2(\text{O})$ 和 $\text{CH}(\text{O})$), $\delta = 1.2$ (d, CH_3). 在二元共聚物 PPCG44 的 ^1H -NMR (CDCl_3) 谱图 2(b) 上亦可以见到上述位移讯号,除此之外在位移 $\delta = 2.2$ 和 $\delta = 2.5$ 处也有两个位移

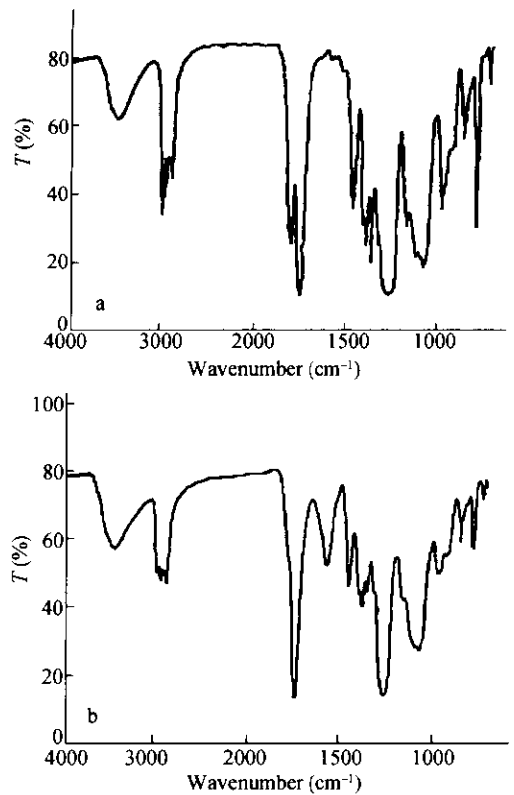


Fig. 1 FTIR spectra of PPC (a) and PPCG44 (b)

讯号,分别为连接了 HC—COOR 的次甲基 CH_2 和亚甲基 CH 的质子化学位移讯号^[14].由于讯号的积分强度分别代表相应基团的数量,因此碳酸酯单元分数 f_c (即 CO_3 单元与主链所有单元总数之比) 可根据各单元讯号峰的积分强度计算出来^[15]. PPC 的 f_c 为 33%, 而 PPCG44 的 f_c 为 28%. 这是因为在 PPCG44 分子链上引入了新的基团单元,使得碳酸酯单元与所有单元总数比有所下降.

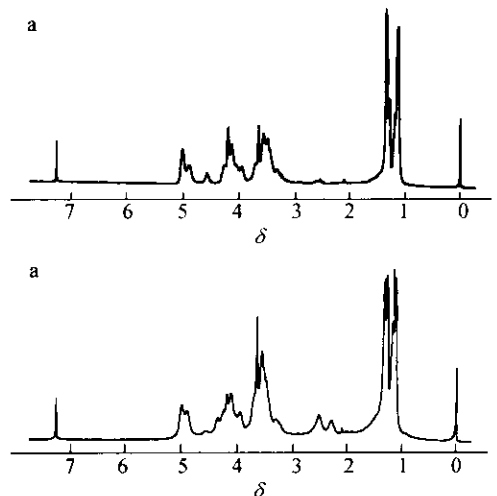


Fig. 2 ^1H -NMR spectra of PPC (a) and PPCG44 (b)

PPC 与 PPCG44 的 ^{13}C -NMR 谱图见图 3. 从图中可以看到, 两种产物的 ^{13}C -NMR 讯号均包含聚碳酸亚丙酯的特征讯号, $\delta = 154(\text{CO}_3)$, $\delta = 72.3(\text{CH})$, $\delta = 69.2(\text{CH}_2)$, $\delta = 16.2(\text{CH}_3)$. 图中 $\delta = 77.0$ 处为 $-\text{CH}$ 相连的 $\text{C}-\text{O}$ 位移讯号, 而在 PPCG44 的 ^{13}C -NMR 谱图上的该 $\text{C}-\text{O}$ 讯号峰面积明显的要比 PPC 的要大, 因此可以推断, 引入了 GBL 单元的三元共聚物 PPCG44 分子链中与 $-\text{CH}$ 相连的 $\text{C}-\text{O}$ 单元要比 PPC 分子链中多. 由于聚碳酸亚丙酯中各单元的连接存在头尾的差异 (如图 4 所示), 在 ^{13}C -

NMR 谱图中会存在 CO_3 单元讯号偏移. 尾-尾 (T-T), 头-尾 (H-T), 头-头 (H-H) 连接的 CO_3 单元讯号分别出现在 154.7, 154.2, 153.6 ~ 153.8^[16].

由此可知, PPC 分子链中为 H-T 链接, 而 PPCG44 中为 T-T 链接. 因此可推断, 在二氧化碳的三元共聚物 PPCG44 中存在单元

$$-\text{C}-\overset{\text{C}}{\overset{\text{O}}{\parallel}}-\text{O}-\overset{\text{C}}{\overset{\text{O}}{\parallel}}-\text{C}-\text{C}-\text{C}-\text{O}-\overset{\text{C}}{\overset{\text{O}}{\parallel}}-\text{O}-$$

且单元与单元之间的链接方式为 T-T 型, 即

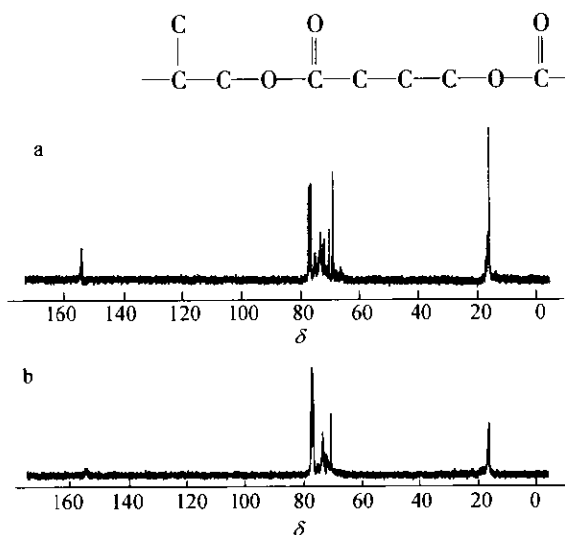


Fig. 3 ^{13}C -NMR spectra of PPC (a) and PPCG44 (b)

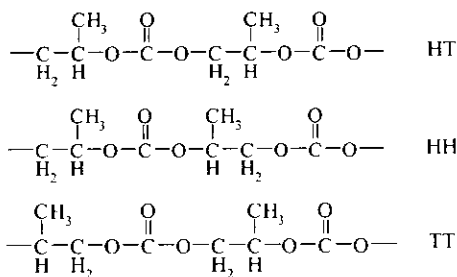
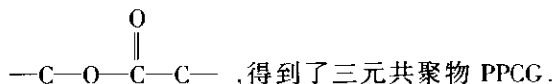


Fig. 4 Molecular link structures with different link ways of both units for PPC

由上述分析可知, GBL 被成功地开环, 并与二氧化碳和环氧丙烷发生共聚. 通过 GBL 开环共聚, 在 PPC 中引入了易水解的羧酸酯单元



2.2 PO:GBL 比例和反应时间对共聚物特性粘数, 粘均分子量及其热力学性质的影响

聚合物的特性粘数、粘均分子量和热力学性

质都与聚合物的结构及组成相关. 通过测定不同 PO 与 GBL 比例的 PPCG, 得到一系列与聚合物组成相关的聚合物性质数据 (如表 1 所示). 随着共聚物 PPCG 中 GBL 成分的增加, 在相同反应条件下, 共聚物的特性粘数和粘均分子量均有不同程度的增加, 而在 PO:GBL 为 4:2 时特性粘数值增至 0.861 dL/g, 玻璃化转变温度增加到 42.6℃ 后, 特性粘数值继续增大, 而玻璃化转变温度则无明显的增加了. 从上述数据中可看到, GBL 的引入有效提高了共聚物 PPC 的粘度和玻璃化转变温度, 但当特性粘数和分子量增大到一定范围时, PPCG 的玻璃化转变温度就趋于一定值, 没有太大变化. 这是因为分子链端的活动能力较其余链段的活动能力大, 当聚合物分子量增大, 链端链段数目在总链段中所占比例减小, 玻璃化转变温度增高; 但当聚合物分子量达到一定程度后, 链端链段所占比例很小, 分子链端的活动能力对玻璃化转变温度的贡献可以忽略^[17], 这时聚合物的玻璃化转变温度将不受分子量的影响, 而趋于恒定. 实验数据也证实了这一点.

Table 1 Effect of PO:GBL on PPCG copolymers characterization*

Samples	PO:GBL (mol:mol)	$[\eta]$ (dL/g)	$M_v \times 10^{-4}$	T_g (°C)
PPC	4:0	0.552	4.2	8.2
PPCG41	4:1	0.736	6.0	24.3
PPCG42	4:2	0.861	7.2	42.6
PPCG43	4:3	1.244	11.5	40.4
PPCG44	4:4	1.310	12.3	41.2

* Reaction condition: reaction temperature 60℃, reaction time 24 h

从表 2 可以看到, 随着反应时间的增加, 聚合物的特性粘数和玻璃化转变温度均有不同程度的上升, 在反应时间增长至 50 h 时, 特性粘数增至

0.968 dL/g, 玻璃化转变温度增至 42.3 °C; 但当反应时间增加到 60 h, 产物的特性粘数和玻璃化转变温度却发生了下降. 这是由于反应体系中存在的催化剂对共聚物除了有催化聚合的作用, 同时也会引发共聚物的降解^[18]. 这使得聚合物的分子链在生成的同时发生着“解拉链式”的分解, 大分子长链的 PPCG 分子链无法生成, 致使聚合物特性粘数值和玻璃化转变温度下降.

Table 2 Effect of reaction time on PPCG copolymers characterization *

Samples	Reaction time (h)	$[\eta]$ (dL/g)	$M_n \times 10^{-4}$	T_g (°C)
PPCG24	24	0.736	6.0	24.3
PPCG40	40	0.892	7.6	36.4
PPCG50	50	0.968	8.4	42.3
PPCG60	60	0.914	7.8	34.6

* Reaction condition: reaction temperature 60 °C; PO: GBL = 4:1 in mole ratio

2.3 PPCG 降解性能的表征

对由表 1 合成的不同 PO: GBL 比值的 PPCG 共聚物进行降解性能的测试. 研究 GBL 的加入对 PO-CO₂ 链段降解性能的影响.

由于引入了易水解的酯单元, 使得共聚物 PPCG 具有较好的水解能力. 从图 5 可以看出, 含

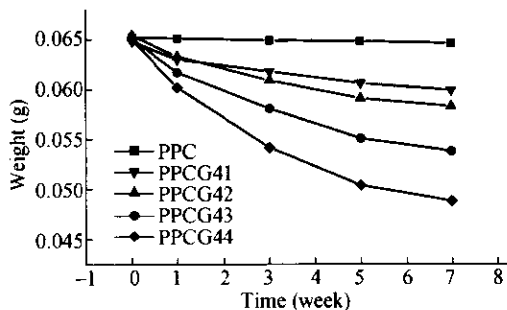


Fig. 5 Dependence of degradability of PPCG copolymers on PO: GBL

有 $\begin{matrix} \text{O} & \text{C} \\ \parallel & | \\ -\text{C}-\text{C}-\text{O}-\text{C}- \end{matrix}$ 单元的 PPCG 水解性较 PPC 要强, 且水解速率随着 GBL 含量的增加而增大. 因此可进一步确定, 引入 GBL 使得 PO-CO₂ 分子链结构中增加了易水解的酯单元 $\begin{matrix} \text{O} \\ \parallel \\ -\text{C}-\text{O}-\text{C}- \end{matrix}$, 得到的 PPCG 具有较强的水解性, 可望用于药物的长效控制释放载体材料. 对 PPCG 的降解性能和药物的控释能力还需进一步研究和探讨.

REFERENCES

- 1 Miller G. Science, 2002, 297: 1116 ~ 1118
- 2 Graziacascione M, Zhou Haizhu, Flaviaborselli, Lazzeri Luigi. Journal of Materials Science: Materials in Medicine, 2002, 13: 29 ~ 32
- 3 Kathryn E, Scott M Cannizzaro, Robert S Langer, Kevin M Shakesheff. Chemical Reviews, 1999, 99: 3181 ~ 3198
- 4 Majeti V. J Pharm Pharmaceut Sci, 2000, 3: 234 ~ 258
- 5 Guo Jintang, Wang Xinying, Xu Yongshwn, Sun Jingwu. J Applied Polymer Science, 2003, 87: 2356 ~ 2359
- 6 Yang Shuying, Fang Xinggao, Chen Liban. Polymers for Advanced Technologies, 1996, 7: 605 ~ 608.
- 7 Zhang Ming(张敏), Chen Liban(陈立班), Qin Gang(秦刚), Li Zhuomei(李卓美). Chemistry(化学通报), 2002, (6): 391 ~ 395
- 8 Beckman E J. Science, 1999, 283: 946 ~ 947
- 9 Huang Y H, Yang X H, Zhao S L, Lin G, Chen M C, Liao B, Wang C Q, Cong G M, Chen L B. Appl J Polym Sci, 1996, 61: 1479 ~ 1486
- 10 Wang Dongshan(王东山), Yu Aifang(余爱芳), He Shujie(何树杰), Yang Shuying(杨淑英), Chen Liban(陈立班). Acta Polymerica Sinica(高分子学报), 1994, (2): 168 ~ 174
- 11 Wang Dongxian(王东贤), Kang Maoqing(亢茂青), Wang Xinkui(王心葵). Progress in Chemistry(化学进展), 2002, 14(6): 462 ~ 468
- 12 Chen L B. Makromol Chem Macromol Symp, 1992, 59: 75 ~ 81
- 13 Quan Zhilong, Min Jiadong, Zhou Qirhai, Xie Dong, Liu Jingjiang, Wang Xianhong, Zhao Xiaojiang, Wang Fosong. Macromol Symp, 2003, 195: 281 ~ 286
- 14 John A Dean. Lange's Handbook of Chemistry. 15th Ed. McGraw-Hill Professional, New York: 1999. 7, 41 ~ 111
- 15 Chen Liban(陈立班). Polymer Bulletin(高分子通报), 1999, 3: 128 ~ 131
- 16 Iednor W P, Rol N C, J Chem Commun, 1985, 9: 598 ~ 599
- 17 Ma Dezhu(马德柱), He Pingsheng(何平笙), Xu Zhongde(徐种德), Zhou Yiqin(周漪琴). Structure and property of Polymer(高聚物的结构与性能). 2nd ed. (第二版). Beijing(北京): Science Press(科学出版社), 1999. 192 ~ 195
- 18 Rokicki A, Kuran W J. Macromol Sci, Rev Macrowol Chem, 1981, C21: 135 ~ 141

CHARACTERIZATION AND TERPOLYMERIZATION OF CARBON DIOXIDE/PROPYLENE OXIDE/ γ -BUTYROLACTONE

LU Lingbin, HUANG Kelong

(*School of Chemistry and Chemical Engineering, Central South University, Changsha 410083*)

HUANG Lu

(*Hunan Chemical Engineering Institute, Changsha 410007*)

YAN Wenbin

(*College of Chemistry and Chemical Engineering, Jishou University, Jishou 416000*)

Abstract Carbon dioxide is the primary contamination in the atmosphere. In order to reduce the pollution caused by CO_2 , some methods have been developed to use CO_2 as the raw material to produce degradable polymeric materials. A new aliphatic polycarbonate (PPCG) was successfully synthesized with terpolymerization of carbon dioxide, propylene oxide (PO) and γ -butyrolactone (GBL). The copolymer was characterized by means of FTIR, $^1\text{H-NMR}$ and $^{13}\text{C-NMR}$. The results showed that the ring of GBL was opened and inserted into the chain of PO-CO_2 . GBL offered an ester structural unit making the copolymer easier to be hydrolyzed. The intrinsic viscosity, viscosity-average molecular weight (M_v), and glass-transition temperature (T_g) of copolymers were determined. PPCG exhibited a T_g of around 40°C , which is higher than that of PPC. The influence of reaction time and ratio of PO:GBL (mol/mol) on M_v and T_g of copolymer were tested. The increase of reaction time may result in higher M_v and T_g . The total weight loss was used to characterize the degradation ability in hydrolysis tests. It was concluded that copolymers of high GBL content exhibited good degradability.

Key words Carbon dioxide, Propylene oxide, γ -Butyrolactone, Aliphatic polycarbonate, Terpolymerization, Characterization